Vol. 10, No. 2 Nov. 2000

文章编号: 1003-7837(2000)02-0125-04

短切碳纤维对玻璃陶瓷力学性能的影响

黄步玉1,任立军1,谢华爱2,郑开宏3

- (1. 中南工业大学, 湖南 长沙 410083;
- 2. 江西德兴铜矿机动部,江西 德兴 334224;
- 3. 广州有色金属研究院耐磨材料研究所, 广东 广州 510651)

摘 要: 研究了短切碳纤维的长度、取向、体积分数对 LiOz-AlzOz-SiOz 玻璃陶瓷力学性能的影响, 结 果表明,当纤维体积分数约 32%时,玻璃陶瓷基复合材料的力学性能最佳;复合材料中纤维长度增 加,其抗弯强度和断裂韧性均增加;随纤维取向角度的增大,玻璃陶瓷基复合材料的抗弯强度和韧性 均减小.

关键词: 短切纤维增强复合材料;玻璃陶瓷;力学性质

中图分类号: TB332, TQ171.73⁺3, TQ343⁺.9

文献标识码: A

玻璃陶瓷 LiO2-Al2O3-SiO2具有低密度和优良的高温机械性能、热稳定性、耐腐蚀性,但 其致命弱点 —— 脆性、低的表面断裂功限制了它的广泛应用. 研究表明,采用复合的方法,可改 善其韧性. 在过去 20 多年里,多数采用长纤维和晶须增强的方法[1~2],但用长纤维制备形状复 杂的零件较为困难;晶须增强效果不佳,价格昂贵,而且 SiC 晶须还涉及晶须与基体间的界面 可控性问题[2]. 采用短切纤维增强玻璃陶瓷有望克服上述缺点,但国内外有关这方面的报导不 多. 因此,开展短切纤维增强玻璃陶瓷的研究,对提高玻璃陶瓷的力学性能具有重要意义.

本试验采用切成一定长度的国产碳纤维制成复合玻璃陶瓷,其室温抗弯强度和断裂韧性 比玻璃陶瓷分别提高了 3 倍和 4 倍.

1 试验方法

玻璃陶瓷基体的成分及力学性能见表 1. 本试验所用碳纤维的主要性能见表 2. 将长纤维 束切成长度分别为 1,2,3 mm 的短纤维进行试验. 将短切碳纤维和玻璃陶瓷细粉按所需比例 加入粘结剂中,用自制的制带机制成短切碳纤维取向基本一致的薄带,将薄带置于模具中,经 真空热压炉烧结而成短切碳纤维增强玻璃陶瓷基复合材料. 为进行性能比较,玻璃陶瓷材料也 进行热压烧结处理. 在室温下,用 Instron 1195 型电子拉伸试验机测定玻璃陶瓷基复合材料及 基体的抗弯强度和断裂韧性、试样经研磨、抛光后,用 MF-3 型金相显微镜观察复合材料中短

收稿日期: 2000-02-17

作者简介: 黄步玉 (1963-), 女,福建莆田人,高级工程师,在职硕士研究生.

10

纤维的分布状态. 用 S2700 型扫描电子显微镜观察分析复合材料的断口形貌,

表 1 玻璃陶瓷基体化学成分及力学性能

Table 1 Chemical comporition & mechanical properties of the glass ceramics matrix

化学成分(质量分数)/%					力学性能	
LiO ₂	$Al_{\epsilon}O_{1}$	S_iO_z	TiO _z	Na ₂ O	抗弯强度/ MPs	斯裂韧性/(MPa·m ^{1/2}
2.8	21.4	68.2	6	0.6	120	1.8

表 2 碳纤维的主要性能

Table 2 Main properties of the carbon-fiber

密度	直径	弹性模量	抗拉强度	轴向热膨胀系数
1.76 g/cm ³	7 pm	206 GPa	2930 MPa	-0.7×10 ⁻⁸ °C

2 结果与讨论

2.1 复合材料的显微组织

图 1 为热压烧结后的玻璃陶瓷复合材料的显微结构,其中图 1a 和图 1b 分别为纤维与试 样轴向平均偏角 3°和 70°的光学显微照片,图 1c 为垂直于纤维方向磨面的光学显微照片,从图 1 可以看出,纤维与纤维间取向大致相同,分散均匀,没有团聚、交叉等制造缺陷,所有纤维均 被基体包裹,说明本研究所采用的短切碳纤维的分散和取向排布工艺是成功的.

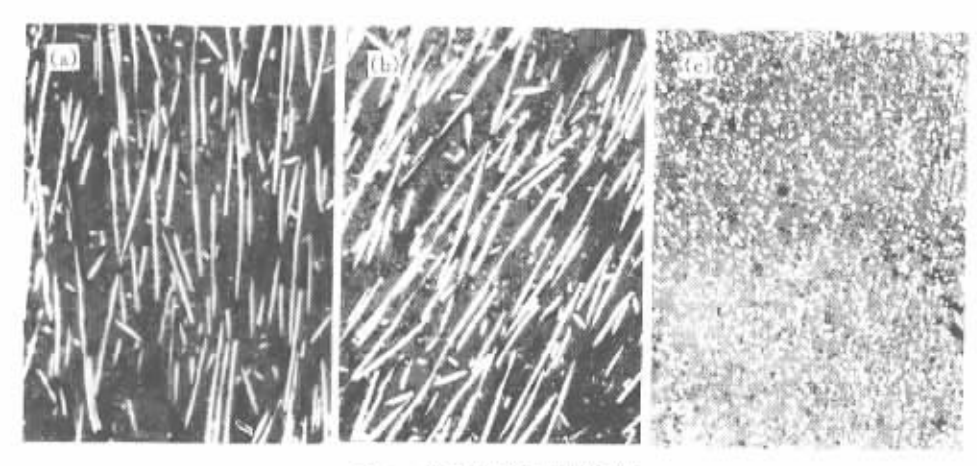


图 1 复合材料的显微组织

Fig. 1 Microstructure of the composite

2.2 纤维体积分数对复合材料强度和韧性的影响

复合材料的抗弯强度和断裂韧性与纤维体积分数的关系如图 2. 从图 2 可以看出,当纤维体积分数 φ达到 32%时,复合材料的抗弯强度和断裂韧性均出现最大值,分别为 430 MPa 和 8. 8 MPa · m^{1/2},当 φ·小于 32%时,复合材料的强度和韧性随着纤维体积分数的增加而增加.主要原因是方数据

积分数越大,复合材料断口拔出的纤维数量也越多,试样断裂时所消耗的拔出功也多,因而材料的强度和韧性也相应提高.当 φ;大于 32%时,复合材料的强度和韧性随纤维体积分数的增加而减少.当纤维体积分数达到 42%时,复合材料的抗弯强度和韧性均较低,仅为 230 MPa 和 3.2 MPa·m¹². 原因在于纤维体积分数高,基体少,热压时包裹纤维的基体间不能很好的粘 '结,基体起不到传递载荷的作用,纤维也起不到增强效果,因而复合材料的强度和韧性降低.

2.3 纤维长度对复合材料强度和韧性的影响

短切碳纤维经球磨和搅拌后长度要发生变化,短切 1,2,3 mm 碳纤维经球磨和搅拌后平 均长度分别变为 313,121,212 μm. 当纤维体积分数为 32%时,在其它条件相同的情况下,纤维 长度对复合材料抗弯强度和断裂韧性的影响如图 3 所示. 随着复合材料中纤维长度的增加,其 抗弯强度和断裂韧性均增加.

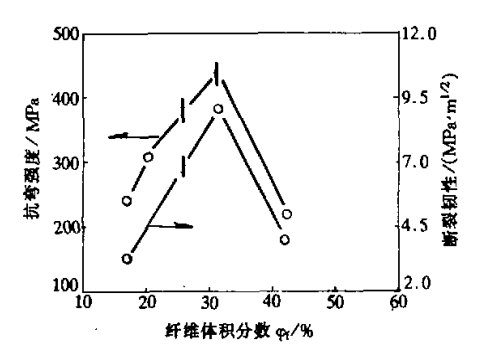


图 2 复合材料抗弯强度和断裂韧性与纤维体积分数的关系

Fig. 2 Effect of fiber's volume fraction on bending strength and fracture toughness of the composite

2.4 纤维取向对复合材料强度和韧性的影响

图 4 为复合材料中纤维平均长度 为 313 µm, φ₁约为 32%时,纤维取向对复合材料抗弯强度和断裂韧性的影响,由图 4 可见,纤维与试样平面轴线的平均偏角越大,复合材料的抗弯强度和断裂韧性越小.原因是在同一平面上,纤维与弯曲应力有一定夹角时,产生横向拉伸开裂应力和层内剪切应力. 当横向拉伸应力达到纤维-基体间的界面强度时,界面将向垂直于纤维方向剥离,而不是脱粘.

3 结 论

(1)制得了分散良好并取向基本一致的短 切碳纤维增强玻璃陶瓷基复合材料。

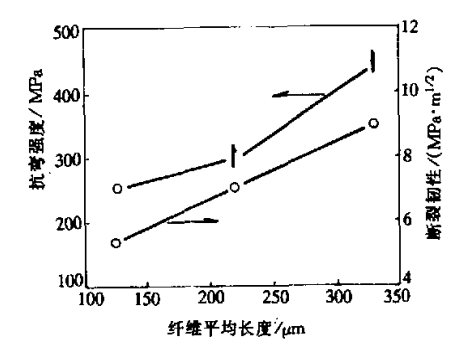


图 3 复合材料抗弯强度和断裂韧性与纤维平均 长度的关系

Fig. 3 Effect of fiber's averaged length on bending strength and fracture toughness of the composite

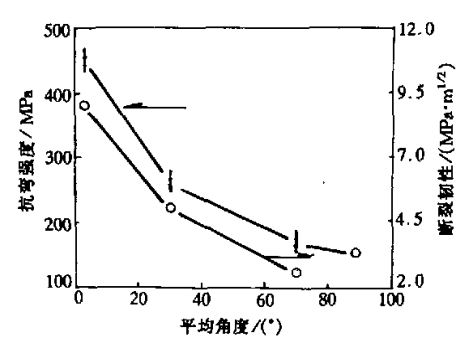


图 4 复合材料抗弯强度和断裂韧性与短纤维平 均取向的关系

Fig. 4 Effect of chopped fiber's averaged orientation on bending strength and fracture toughness of the composite

- (2)当纤维体积分数约 32%时,玻璃陶瓷基复合材料的力学性能最佳,抗弯强度为 430 MPa,断裂韧性为 8.8 MPa m^{1/2},分别比玻璃陶瓷基体材料高约 3 倍和 4 倍.
- (3)随着复合材料中纤维长度的增加,玻璃陶瓷基复合材料的抗弯强度和断裂韧性均增加.
 - (4)随纤维取向角度增大,玻璃陶瓷基复合材料的抗弯强度和断裂韧性均减小.

参考文献:

- [1] Sambell R A J. Carbon Fiber Composites with Ceramic and Glass Material[J]. J Mater Sci, 1972,55 (7):663,676.
- [2] Brennan J J, Steveur Natt. Silicon—whisker—Reinforced Glass—Ceramic Matrix Composites Interface and Properties[J]. J AM Ceram Soc, 1992,75(5):1205.

Effect of chopped carbon fiber on the mechanical properties of Li₂O-Al₂O₃-SiO₂ glass ceramics

HUANG Bu-yu1, REN Li-jun1, XIE Hua-ai2, ZHENG Kai-hong3

- (1. Central South University of Technology, Changsha 410083, China;
- 2. Machinery & Power Department, Jiangxi Dexing Copper Mine, Dexing 334224, China;
- 3. Research Department of Wear-Resistant Materials, Guangzhou Research Institute of Non-Ferrous Metals, Guangzhou 510651, China)

Abstract: The effects of chopped carbon fiber length, orientation and fiber content on the mechanical properties of Li₂O-Al₂O₃-SiO₂ glass ceramics has been studied. The results show that, when the fiber content is 32% (volume percentage), the glass ceramic matrix composite enjoys the optimal mechanical properties; the composite's bending strength and fracture toughness increase with the increase of the fiber length in the composite and decrease with the increase of the fiber's orientational angle.

Key words: chopped fiber reinforced composites; glass ceramics; mechanical properties